

stalttypen aus den sieben Punktlagen $A, B, C, I, 2, 3, 4$ des Urbauteils in Fig. 169 abzuleiten.

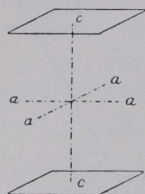


Fig. 172.
Pinakoid.

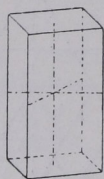


Fig. 173.
Tetragonales Prisma
1. Stellung.

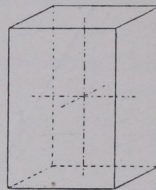


Fig. 174.
Tetragonales Prisma
2. Stellung.

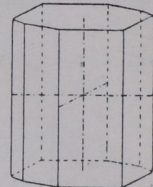


Fig. 175.
Ein ditetragonales
Prisma.

α . Flächen senkrecht zur Hauptachse.

C. Pinakoid $\{001\}$. Fig. 172.

β . Flächen parallel zur Hauptachse.

A. Tetragonales Prisma erster Stellung $\{110\}$. Fig. 173.

B. Tetragonales Prisma zweiter Stellung $\{100\}$. Fig. 174.

3. Ditetragonale Prismen $\{hko\}$. Fig. 175.

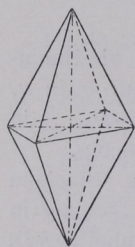


Fig. 176.
Eine tetragonale
Bipyramide,
1. Stellung.

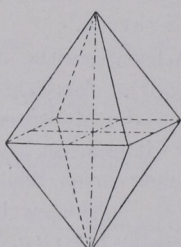


Fig. 177.
Eine tetragonale Bi-
pyramide, 2. Stellung.

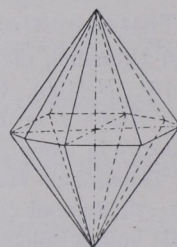


Fig. 178.
Eine ditetragonale
Bipyramide.

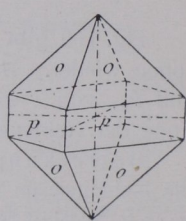


Fig. 179. Zirkon.

γ . Flächen schräg zur Hauptachse.

1. Tetragonale Bipyramiden erster Stellung $\{hh\}$. Fig. 176.

2. Tetragonale Bipyramiden zweiter Stellung $\{hol\}$. Fig. 177.

4. Ditetragonale Bipyramiden $\{hkl\}$. Fig. 178.

II. Ditetragonal-pyramide Klasse. 4. Stufe.

Erzeugende Symmetrie $4d$ (tetragyrisch domatisch)

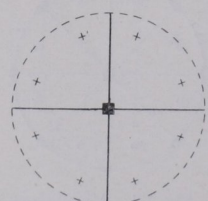


Fig. 180. Erzeugende Sym-
metrie der ditetragonal-
pyramidalen Klasse (4d).

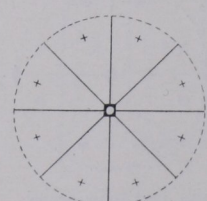


Fig. 181. Allgemeines
ditetragonal-pyramidales
Bauschema.